

芝地上の散布農薬の表面流出と土中浸透 に関する基礎的実験

Fundamental Experiments on Moving Characteristics of Scattered Agricultural Chemicals on the Grass Land

* 尾島 勝 · 松浦史登 ** · 田村新吾 *** · 李 圭太 ****

By Masaru OJIMA, Fumito MATSUURA, Shingo TAMURA and Kyu-Tae LEE

Groundwater contamination by agricultural chemicals is getting one of the most serious environmental problems, especially in golf course. The purpose of this study is to investigate the moving characteristics of scattered pesticides caused by heavy rain.

The contents of this study are 1) the investigation of poison characteristics of the main agricultural pesticides in golf course, 2) the analysis of data of sand-column tests based on the method of gaschromatography(GC-FTD), and 3) the analysis of experimental data of surface runoff in the grass channel model by GC-FTD.

Main results obtained are as follows : 1) most of the scattered pesticides are adsorbed by the grass and soil particles, 2) the estimated values of concentration of pesticides in the sand-column tests are a little over the permitted value, and so it is necessary to keep a lookout for the behavior, and 3) the estimated values in the surface runoff tests are no problem.

Keywords : Groundwater Contamination, Agricultural Chemicals, Gaschromatography, Model Experiment

1. まえがき

殺虫剤、殺菌剤、除草剤として使用される農薬の種類と数量は、近年急激に増大している。米国で現在最も重要な地下水汚染問題となっているのは、除草剤によるものであり¹⁾、最近わが国でもゴルフ場の使用農薬による地下水や河川水の汚染が大きな社会問題となりつつある。最近の農薬はその有効性もさることながらいわゆる安全性の確保に絶大な努力が払われており²⁾、現実問題として無農薬社会はあり得ない。農薬は土壤吸着性が強く、残効性が高く、水に難溶性であるという性質を有しているから、一般には、地下水や河川水中には微量にしか溶出しないはずである。したがって、地下水や河川水から検出された農薬量に関する専門的な研究例の提示は、まだ極めて少ないといえる。³⁾⁴⁾

本研究では、昨年度⁵⁾に引き続き、ゴルフ場におけるパッティング・グリーン上の散布農薬の挙動に着目し、強降雨時における芝表面流出量と土中鉛直飽和浸透量を実験的に把握し、農薬の土壤吸着性や植物分解能などを解明することを目的としている。

* 正会員 工博 福山大学教授 工学部土木工学科
(〒729-02 広島県福山市東村町三歳985)

** 理博 福山大学教授 工学部生物工学科

*** 福山大学大学院

**** 正会員 工修 株式会社エスコンサクト 技術開発部
(〒113 東京都文京区本郷2-10-9 第一富士ビル)

2. ゴルフ場使用農薬の特性とその化学的分析法

法的整備が遅れていたゴルフ場での使用農薬が、1988年8月から農薬取締法の適用を受けることになり、1990年5月に厚生省より、主な使用農薬21種について、安全性の目安となる水道原水水質目標値が示された。これに基づき、環境庁も同年5月25日にゴルフ場排水口での許容濃度指針値を上記水質目標値の10倍の値として示した。表-1に厚生省の挙げた21種の農薬特性、水質目標値($\text{mg/l} = 10/100 \times \text{ADI} \times 50\text{kg}/21$)、および化学的分析法を示した。測定方法に示したGCはガスクロマトグラフィー法であり、MSは質量スペクトル装置結合分析を、FPDは炎光光度検出器を、ECDは電子捕獲検出器を、FTDは熱イオン検出器を用いることを意味し、HPLCは高速液体クロマトグラフィー法である。

本研究では比較的分析法の容易なGC-FTDにより分析可能な農薬のうち、使用量も多くその流出挙動の解明が重要であると考えられるダツジン、MEP、シマシン、フルトニルを選んだ。それらの特性を簡単に述べる。

- 1)ダツジン 水にわずかに溶ける(40ppm)農薬としては植物体への浸透圧や揮散性が高いので水面施用剤としての効果が高い。その他にも茎葉散布、土壤施用としても広く用いられる。殺虫作用は、接触作用、消化中毒剤および熱蒸作用により、比較的速効性である。土壤中における半減期は22日、容器内、畑状態(不飽和)で11~12日、水田状態(飽和)で6~7日と比較的短い。
- 2)MEP(エニトロゼン) 水に難溶()。カハゴキリに効果大で、家庭用殺虫剤としても広く用いられる。動物体内では速やかに分解され、果実、野菜に散布した場合も残留毒性は速やかに減衰する。半減期は畑状態で22~30日、水田状態で4~6日。
- 3)シマシン(CAT) 水に難溶(5ppm)。発芽前処理剤として地表部の雑草の芽生えに有効。植物体への吸収は根からであり、茎葉からはほとんど認められない。土壤中では粘土鉱物、有機物に吸着。難溶性のため降雨による下方移動はほとんどない。土壤中の分解、不活性化は微生物によるものであり、光分解や揮散による活性成分の消失は極めて少なく、残効性は40~50日とされている。なお砂質土壤では薬量を少なくするか、使用しない。しかし、表-1に示した除草剤の中では最も厳しい水質目標値が示されている。
- 4)フルトニル 水に難溶(9.6ppm)。農薬としては稻の紋枯病の予防、治療の効果にすぐれ、その他にも広く用いられる。浸透移行性を有し、耐降雨性にすぐれしており、残効性が大きい。動物体や土中では容易に分解され、蓄積性はない。

表-1 厚生省の挙げた21種の農薬特性、水質目標値および化学的分析法

| 分類 | 農薬名 | 人畜毒性 | 魚毒性 | 水質目標値 | 測定方法 | 備考 |
|-----|----------------|------|------|-------------------------|-------------------------------|---------------------------------|
| 殺虫剤 | DEP(トリクロロエチレン) | 劇物 | B類 | 0.030 (mg/l) | GC-MS, GC-FPD, GC-ECD, GC-FTD | 水溶性(15g/l), 化学的不安定, 分析難 |
| | MEP(エニトロゼン) | 普通物 | B類 | 0.010 (mg/l) | GC-MS, GC-FPD, GC-ECD | 難溶(), 分析能大 |
| | ダツジン | 劇物 | B類 | 0.008 (mg/l) | GC-MS, GC-FPD, GC-ECD | 難溶(1.8ppm), 7%がれ性で不安定 |
| | イソクサズ | 劇物 | B類 | 0.001 (mg/l) | GC-MS, GC-FPD, GC-FTD | わざかに溶ける(20ppm), 現在ほとんど使用せず |
| | クロビリス | 劇物 | C類 | 0.004 (mg/l) | GC-MS, GC-FPD, GC-ECD | 養殖池周辺では絶対使用不可 |
| | ダツジン | 劇物 | B-s類 | 0.005 (mg/l) | GC-MS, GC-FPD, GC-ECD, GC-FTD | わざかに溶ける(40ppm)使用量多, 養殖池・川周辺使用不可 |
| 殺菌剤 | TPN(クリオケミカル) | 普通物 | C類 | 0.040 (mg/l) | GC-MS, GC-ECD | ほとんど使用しない, 発がん危険性高し(米科学アガード) |
| | イソクサズ | 普通物 | B類 | 0.040 (mg/l) | GC-MS, GC-FPD, GC-ECD | 水溶性(48ppm), 分析難 |
| | イソウオノ | 普通物 | A類 | 0.300 (mg/l) | GC-MS, GC-FTD, GC-ECD | 水溶性(13ppm), 分析難 |
| | キヨシ鋼 | 普通物 | B類 | 0.040 (mg/l) | HPLC | 難溶, 7%ヨウイ-ラムにも難溶 |
| | キヨブタ | 普通物 | C類 | 0.300 (mg/l) | GC-MS, GC-FPD | 発がん危険性高し(米科学アガード) |
| | タウラ(TMTD) | 普通物 | C類 | 0.006 (mg/l) | HPLC | 水質目標値極めて厳しい |
| | トルクロヌスメタル | 普通物 | A類 | 0.080 (mg/l) | GC-MS, GC-FPD | 難溶(1ppm), 土壤残留性小, 分析難 |
| | フルトニル | 普通物 | B類 | 0.200 (mg/l) | GC-MS, GC-FTD, GC-ECD | 難溶(9.6ppm), 残効性大 |
| 除草剤 | SAP(ヘンシド) | 普通物 | B類 | 0.100 (mg/l) | GC-MS, GC-FPD, GC-FTD | 水溶性(25ppm), 残効性大, 土壤吸着性大 |
| | シジン | 普通物 | A類 | 0.200 (mg/l) | HPLC | 水溶性(0.5%) |
| | シマシン(CAT) | 普通物 | A類 | 0.003 (mg/l) | GC-MS, GC-FTD | 難溶(5ppm), 残効性大, 使用量多 |
| | ダツジン | 普通物 | A類 | 0.080 (mg/l) | GC-MS, GC-FTD | 難溶(5~7ppm) |
| | グリセズ | 普通物 | B類 | 0.004 (mg/l) | GC-MS, GC-FPD, GC-ECD | 発がん危険性高し(米科学アガード) |
| | アロヒド | 普通物 | A類 | 0.008 (mg/l) | GC-MS, GC-ECD | 難溶(0.3ppm), 土壤吸着性大, 良染 |
| | ベンゾイミダリン | 普通物 | B類 | 0.050 (mg/l) | GC-MS, GC-FTD, GC-ECD | |

3. 砂層カラムによる鉛直飽和浸透に関する実験

3.1 実験方法

農薬種による土壤吸着性や分解性の比較検討を目的として小カラムを用いた鉛直飽和浸透実験を行い、流出水への溶出農薬の経時変化を明らかにする。図-1に実験装置の概略図を示す。内径 9.9cm、長さ30cmのアクリルパイプの砂層カラムはフィルターメッシュ上に下部より粗砂(相馬砂)、細砂(豊浦砂)および芝を完全飽和状態で敷いて形成した。テストカラムは架台により鉛直に保持され、ヘッドタンクのバルブ操作により Q_i (給水量)を調節して導水する。また、テストカラム内は常に飽和浸透状態にし、芝表面より 1.0cm の湛水深を保つ。通水試験を行い、所定の ΔH に対する定常流量 Q_o を知り、 $Q_o=Q_i$ となるようバルブ開度を決定した。実験手順は次のようである。1)実験開始直前に導水バルブをはずし、芝表面まで排水を行いコックを開じて Q_o をとめる。2)芝表面に所定の農薬を散布する。3)所定の時間放置した後、 Q_i を導き、1.0cm の湛水深に達すると同時に、コックを開き Q_o を受水する。4)所定の時間の受水を繰り返し、テストカラム容積の約 5倍の通水を続ける。5)受水した流出水の流量を計測するとともに、所定の分析用試料を採水(2ml)し、直ちに凍結保存する。実験ケースによっては受水した流出水の全量をガスクロマト分析にかけた。凍結保存試料はできる限り短時間に前処理を終了させFTDによるガスクロマト分析を行う。実験ケースおよび実験条件を表-2に示す。

表-2 実験ケースおよび実験条件

| CASE | 月 日・時 刻 | | 使用農薬 | 実験 条 件 | |
|--------|--------------|--------------|--------|--------|--|
| | 開 始 | 終 了 | | | |
| CASE 1 | 7.13, 13:15 | 7.14, 10:44 | ダ'イジ'ン | 農薬散布 | 13:12, 15.5cc, $\Delta H=1.25\text{cm}$, $Q_o=15\text{cc/min}$ |
| CASE 2 | 7.16, 15:00 | 7.17, 10:15 | ダ'イジ'ン | 農薬散布 | 12:00, 15.5cc, $\Delta H=1.25\text{cm}$, $Q_o=14\sim 15\text{cc/min}$ |
| CASE 3 | 8.27, 14:07 | 8.28, 10:10 | ダ'イジ'ン | 農薬散布 | 14:05, 15.5cc, $\Delta H=1.00\text{cm}$, $Q_o=14\sim 15\text{cc/min}$ |
| CASE 4 | 7.20, 13:35 | 7.21, 9:15 | シマジン | 農薬散布 | 13:35, 4cc, $\Delta H=1.25\text{cm}$, $Q_o=15\text{cc/min}$ |
| CASE 5 | 7.21, 14:10 | 7.22, 10:10 | シマジン | 農薬散布 | 11:10, 4cc, $\Delta H=1.00\text{cm}$, $Q_o=15\text{cc/min}$ |
| CASE 6 | 9.3, 13:37 | 9.4, 10:50 | フルラニル | 農薬散布 | 13:27, 2cc, $\Delta H=1.00\text{cm}$, $Q_o=14\text{cc/min}$ |
| CASE 7 | 9.10, 14:40 | 9.11, 10:50 | MEP | 農薬散布 | 14:30, 7cc, $\Delta H=1.30\text{cm}$, $Q_o=15\text{cc/min}$ |
| CASE 8 | 11. 1, 11:30 | 11. 2, 10:25 | MEP | 農薬散布 | 11:20, 7cc, $\Delta H=3.8\text{cm}$, $Q_o=14\sim 15\text{cc/min}$ |

表-3 平均水理量

| CASE | 透水係数 k $\times 10^{-2}\text{cm/sec}$ | 浸透流速 v $\times 10^{-3}\text{cm/sec}$ | 浸透流量 q_o cm^3/sec |
|--------|---|---|--|
| | | | |
| CASE 1 | 7.88 | 3.29 | 0.253 |
| CASE 2 | 7.87 | 3.20 | 0.246 |
| CASE 3 | 9.34 | 3.12 | 0.240 |
| CASE 4 | 7.88 | 3.29 | 0.253 |
| CASE 5 | 9.86 | 3.29 | 0.253 |
| CASE 6 | 9.17 | 3.05 | 0.235 |
| CASE 7 | 7.58 | 3.28 | 0.253 |
| CASE 8 | 2.51 | 3.18 | 0.245 |

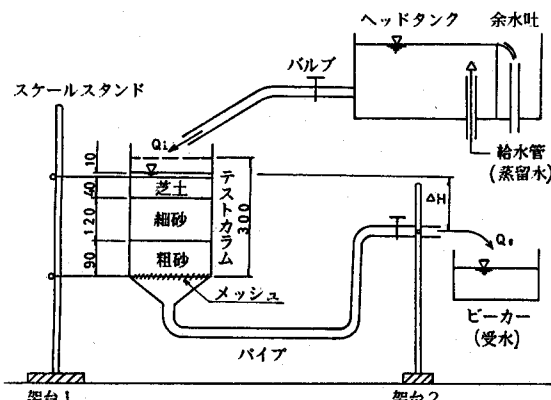


図-1 鉛直飽和浸透実験概略図

3.2 実験結果の考察

実験に使用した農薬は、ダ'イジ'ン水溶液34%(中外製薬)、シマジン水和剤50%(日本農薬)、モンカット(フルラニル)水和剤25%(日本農薬)およびビチオ(EP)乳剤50%(住友化学)である。これらを通常ゴム場で使用されている標準希釈倍率、標準散布量に等しくなるよう計算し、本砂層カラムに対する散布原液量を求めれば、ダ'イジ'ン 15.5cc(340ppm)、シマジン 4cc(300ppm)、フルラニル 2cc(250ppm)、MEP 7cc(2000ppm)となる。

a) 水理特性 表-2に示したとおり、給水量はほぼ15cc/minとなるよう水位差 ΔH を調節した。各実験

における砂層全体としての透水係数、浸透流速および浸透流量を算出すれば表-3のようになる。当然のことながら浸透流量をコントロールしているから浸透流速もほぼ等しくなるが、透水係数は砂および芝土のつめ方によって多少変化している。しかし、新しい芝を使ったケース8以外はほぼ同じ値とみなしうる。したがって、次項で述べる農薬の流下、拡散に関する水理特性はほぼ同一であると考えてよかろう。

b)農薬の土中浸透特性 検出された農薬濃度の経時変化を示せば図-2～図-4のようになる。いずれの実験ケースにおいても10分後の第1回採水試料から、検出値の中でも相対的にかなり大きな値が得られていることが注目されるが、全般的にこの経時変化図をみれば、6～7回(60～70分経過)までは濃度値は低下し、第8回目あたりから再び濃度値はあるピーク値まで上昇する傾向がみられる。6～7回までの排出水量は図-1に示した砂層からの平均的空隙率を0.42として計算すれば実験開始時に貯留されている水量(980cc～1030cc)とほぼ一致することがわかる。したがって、散布農薬が浸透流に乗ってそのまま下方に移行するものとすれば、第8回目試料以降ではかなりの高濃度値が検出されねばならないことになる。

①図-2に示した タイガジンについては、80分(第8回目)以降 0.22ppm 値をピーク値として、わずかに減衰傾向を示し、0.1ppm程度の濃度値が検出されている。この値は散布農薬原液が示した9～12ppmに比べれば 1/100程度となっているが、ゴルフ場排水指針値 0.05ppm を越えており、問題となる。

しかし、約20時間流水を停止した後の流出水から検出された値は 0.007～0.026ppm と指針値よりも小さくなっていることがわかる。すなわち、水溶性は 40ppm と今回の使用農薬の中では大きい方であるが、図に示されるように検出濃度ははるかに小さいことから、植物吸着性や土壤吸着性が強く、また飽和土壤中における分解もかなり速いことが推測できる。

②図-3に示した シジンについては、第1回採水試料の濃度値が、検出値の中で最も大きい値を示し、ゴルフ場排水指針値 0.003ppm の 5～10倍の値となっていることが注目される。その後はすでに述べたところ濃度値は一旦低下し、再び8～9回目の試料でピーク値を示し、以後やや減衰傾向を示すものの約20時間流水

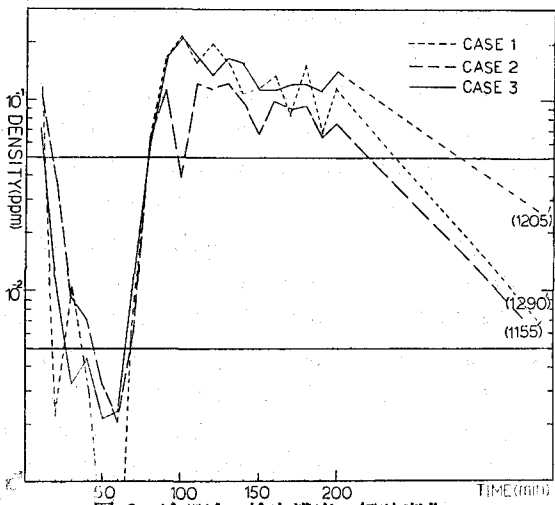


図-2 タイガジン検出濃度の経時変化

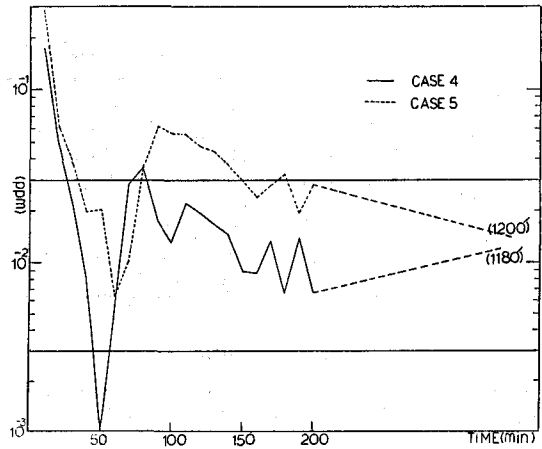


図-3 シジン検出濃度の経時変化

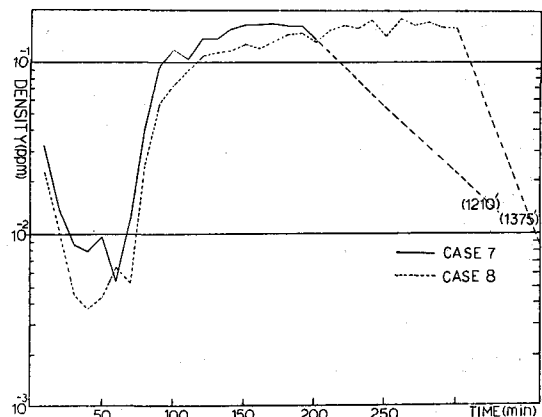


図-4 MEP検出濃度の経時変化

を停止した後の採水試料の値もほとんど低下していない。したがって、土中分解能が小さく、残効性が高いことを示しているといえよう。

③図-4に示した MEPについて、8回目以後の濃度値は、流水期間中は増大傾向にあり、0.16~0.17ppmを上限値としてほとんど同じ値を検出している。したがって、流水に伴って一定量の農薬の流出が起こっていると推測される。しかも、この値は排水指針値の0.1ppmを越えており問題となる。しかし、通水停止後の検出値は2つのケースはそれぞれ0.013ppm, 0.008ppmとオーダー低い値を示しており、土壤中における分解能の大きいことが推測できる。なお、農薬量の収支については紙面の都合で割愛し、講演時に述べたい。

4. 芝張り水路による表面流出実験

4.1 実験の概要

芝面に散布された農薬が表面流によって溶出あるいは剥離移流されるかどうかを検討する目的で、以下に示す実験を行った。図-5に実験装置の概略図を示す。実験用水路は、水平机面の鋼製実験台上に置かれているが、屋外への搬出は容易に出来る。幅295mm、長さ202cmのアクリル製開水路の上流端は閉じ、下流端の止水板は取り外し出来る。この長方形貯水槽の中央部に全幅にわたり長さ111cmの芝土を張る。芝土の厚さは35mmであり、芝土の両端は高さ35mmのアクリル製の堰で止められている。予備実験により、水路床勾配*i*=1/320、流入流量 $Q_i=500\text{cc}/\text{min}$ 、このとき上流水深4.0cm、下流水深3.5cmの表面流が形成されることを確認した。実験手順は次のようである。1)表面不飽和状態として放置した芝の中央部(長さ30cm×幅25cm)に所定量の農薬を平均的に散布する。2)適当な時間この状態で放置する。3)水平状態にして下部より徐々に浸水させて、芝表面までを湛水し、芝土をほぼ完全飽和状態にする。4)所定の初期設定($i=1/320$ 、初期水位、放置時間、給水量)が完了した後、給水と同時に下流端のゲートを開放し実験を開始する。5)流出量の計測および濃度分析試料の採取は実験開始後6回目は1分間計測で行い、その後20回目までは2分間計測、それ以後終了までは4分間計測で行う。すなわち、計測所要時間はすべて66分である。6)採水試料は速やかに前処理を終え、FTDによるガスクロ分析を行う。実験ケースおよび実験条件を表-4に示す。

表-4 実験ケースおよび実験条件

| CASE | 月 日・時 刻 | | 使用農薬 | 実験 条 件 | | 件 |
|------|--------------|-------|--------|--|-----|---|
| | 開 始 | 終 了 | | | | |
| S1C1 | 9.25, 14:37 | 15:43 | タ'イジ'ン | 農薬散布 9.25, 14:26, 150cc/(20cm×30cm), $Q_i=500\text{cc}/\text{min}$, 屋外放置 | 4日 | |
| S1C2 | 9.27, 16:55 | 18:01 | タ'イジ'ン | 農薬散布 9.27, 10:15, 150cc/(20cm×30cm), $Q_i=500\text{cc}/\text{min}$, 屋外放置 | 2日 | |
| S1C3 | 10. 9, 10:30 | 11:36 | タ'イジ'ン | 農薬散布 10. 8, 12:00, 150cc/(20cm×30cm), $Q_i=500\text{cc}/\text{min}$, 屋外放置 | 11日 | |
| S2C1 | 10.15, 15:28 | 16:35 | シマゾン | 農薬散布 10.11, 11:50, 30cc/(20cm×30cm), $Q_i=485\text{cc}/\text{min}$, 屋外放置 | 4日 | |
| S2C2 | 10.18, 15:08 | 16:14 | シマゾン | 農薬散布 10.17, 13:30, 30cc/(20cm×30cm), $Q_i=485\text{cc}/\text{min}$, 屋外放置 | 3日 | |
| S2C3 | 10.22, 14:55 | 16:01 | シマゾン | 農薬散布 10.20, 15:00, 30cc/(20cm×30cm), $Q_i=490\text{cc}/\text{min}$, 屋外放置 | 4日 | |

4.2 実験結果と考察

この2つの実験シリーズ中の降雨状況を図-6、図-7に示した。本実験に使用した芝(けり)は9月21日まではゴルフ場で育成されていたもので、その育成に必要な肥料や農薬が使われていたものと思われる。また表-4にそれぞれの実験ケースの条件を示しているが、できる限り自然条件下に置くために、流出実験を行う数時間以外は実験用水路を1/100の勾配をつけて屋外に放置した。すなわち、タ'イジ'ンを用いたシリーズのS1C1では実験用水路に芝を設置

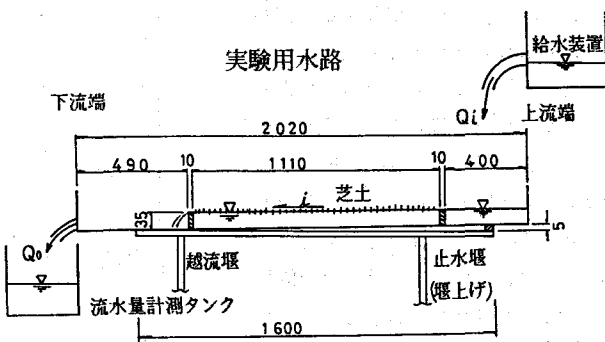


図-5 表面流出実験概略図

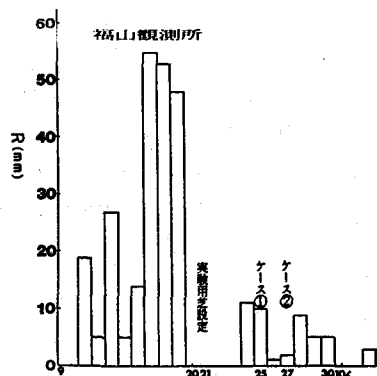


図-6 実験シリーズ 1の降雨状況

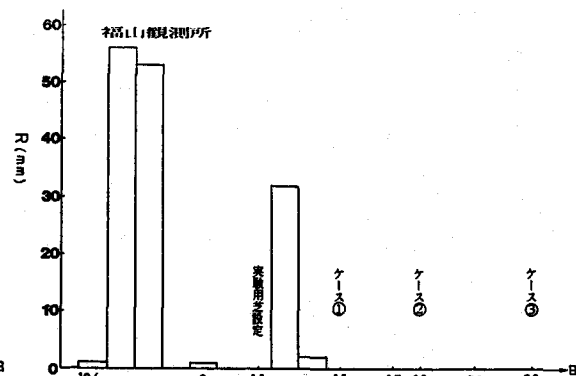


図-7 実験シリーズ 2の降雨状況

し、4日間屋外に放置、農薬散布後11分に流水を開始、S1C2はS1C1に継続して屋外放置2日、農薬散布6時間40分後に流水開始、S1C3はさらにS1C2に続き、屋外11日、農薬散布22時間30分後に流水を開始したものである。シマンを用いたシリーズのS2C1は芝設置後4日間屋外放置、農薬散布99時間36分後に流水開始、S2C2はS2C1に続き、屋外放置3日、農薬散布25時間38分後に流水開始、S2C3はS2C2に続き、屋外放置4日、農薬散布47時間55分後に流水を開始したものである。

a)シリーズ1の考察 流出流量と検出濃度値の経時変化を図-8に示した。

流出流量の定常流量への回復状況から明かなように、芝土の初期飽和状態はS1C3が最も大きく、次いでS1C1、S1C2であることがわかる。しかし、いずれのケースも12分以後は定常表面流出状態になっているといえる。

検出濃度の経時変化から、次ぎのような興味ある考察結果が得られる。
①完全飽和に近い状態にある芝土面に農薬を散布し、ほとんどすぐに流水を開始したケース1では、流出流量がまだ芝土中から浸透水と考えられる3~4分後にも濃度値は大きくなる傾向を示し、表面流が大部分と考え

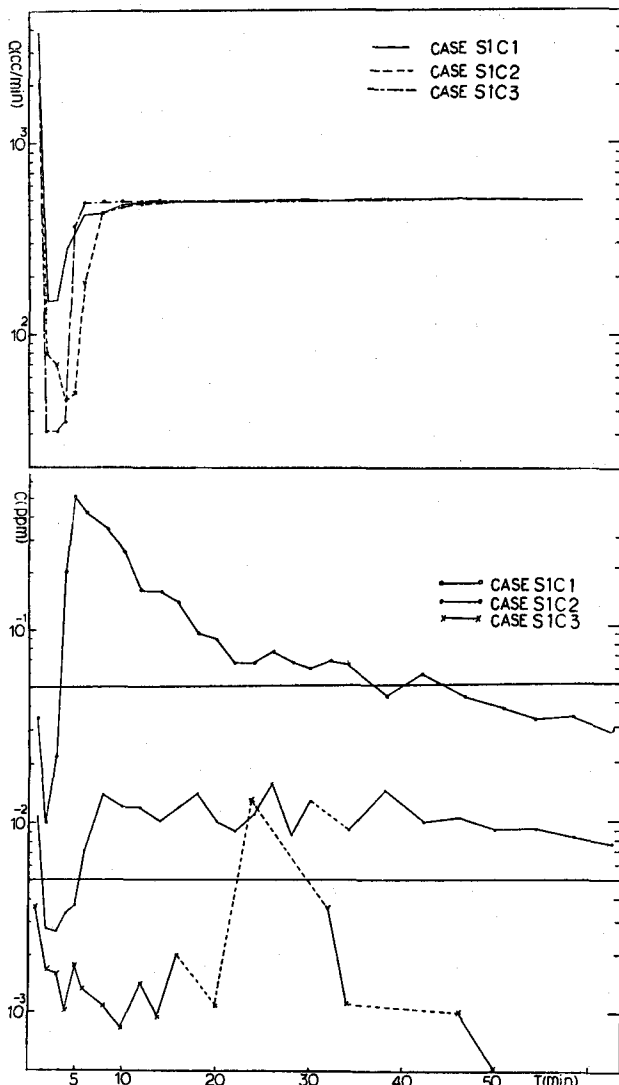


図-8 シリーズ 1の流出流量と検出濃度値

られる 5分には検出濃度はピークに達し、その後は急速に低下する。しかも、通水後40分頃までは排水指針値の0.05ppmを越えている。したがって、散布農薬は、浸透流、表面流によって明らかに移流されていることがわかる。②不飽和状態にある芝土面に農薬を散布し、1時間15分放置した後、徐々に給水して飽和状態に近い灌水条件とし、農薬散布から6時間40分後に流水を開始したケース2では、流出流量の減少とともに濃度値は一旦低下し、表面流が主となると考えられる。8分以後は0.01ppm程度の値を示す。すなわち、表面流による農薬の流出はあるものの、その量はケース1に比べて1オーダー小さくなっていることがわかる。しかし、この値はまだ水質目標値0.005ppmに比べれば倍ほど大きい。③完全飽和に近い状態にある芝土面に農薬を散布し、22時間30分放置後に流水を開始したケース3では、検出濃度値は極めて小さく、0.005ppmに比べても十分小さい。すなわち、芝土の保水状態が飽和に近くても、農薬散布後の時間が長ければ、その間に土壤吸着や植物吸着、分解が起こり、かなり強い表面流によっても農薬は流出しないといえる。

以上の考察のとおり、グアイジノンは、散布から表面流が生起するまでの時間が極端に短ければ問題となるが、散布後数時間以上経過すれば、表面流に伴う移流はほとんど無いと結論できる。

b)シリーズ2の考察 流出流量と検出濃度値の経時変化を図-9に示した。図から明かなように、芝土の初期飽和状態は、S2C2とS2C3とはほとんどかわらず、S2C1が若干飽和度が低いといえる。しかし、いずれのケースでも14分以後は定常表面流出状態になっていることがわかる。検出濃度の経時変化図からは次のような考察ができる。農薬はいずれも不飽和状態の芝土面に散布され、また流水開始までの放置時間もシリーズ1に比べてもかなり長い。いずれのケースについても浸透流出が卓越すると考えられる6~10分で濃度値の一時的上昇傾向がみられるものの、経時的な変化はほとんどない。また、検出濃度値は水道水質目標値の0.003ppmよりも大きいが、排水指針値0.03ppmよりは小さい。また、農薬散布後の放置時間が長いほど検出濃度値は小さくなってしまい、土壤中における分解や、植物吸収の量が多くなっていることが推測される。

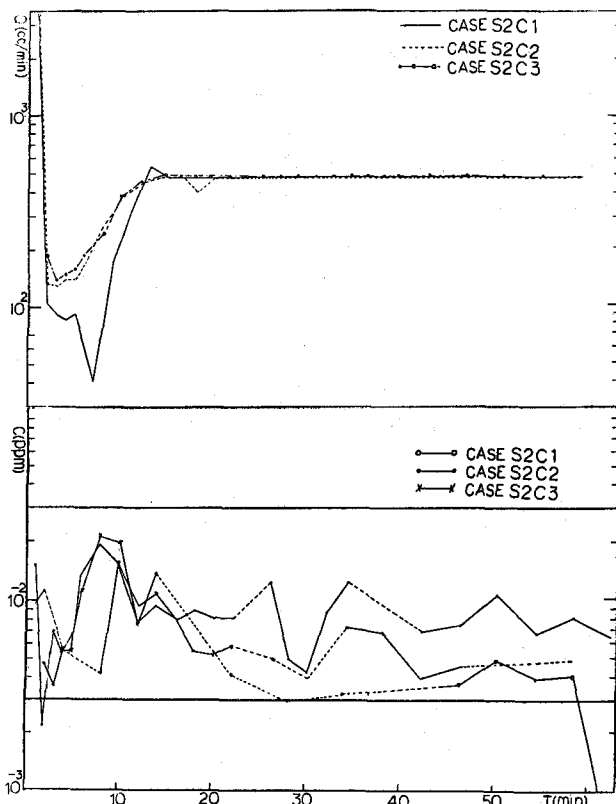


図-9 シリーズ2の流出流量と検出濃度値

5. あとがき

本研究で取り組んだ農薬による地下水汚染の問題は、社会的にも緊急を要する課題であるが、まだ実験計測された農薬量に関する専門的な研究例は数少ない。今後、正しく実態を把握するとともに汚染防止の方策をも含めて精力的に研究されなければならない。

本研究は、ゴルフ場パッティンググリーン上に散布された農薬の強降雨時における表面流出量と土中浸透量を基礎的な模型実験により定量的に解析し、農薬の土壤吸着性や植物分解能を解明したものである。

得られた成果を簡潔にもとめれば次のようになる。

1)鉛直飽和浸透実験によれば、①散布農薬量の大部分は土壤吸着、植物吸着や植物分解されること、②浸透流速値が 3×10^{-3} cm/sec程度でも、ダ'イアジノン, MEPの検出濃度値は排水指針値を越えることがあること、③シマンの検出濃度値は排水指針値の数倍にもなることがあり、その挙動に注意する必要があることが明らかになった。

2)表面流出実験によれば、①農薬散布時から表面流出が生起するまでの時間が極端に短くない限り、農薬量の大部分は土壤吸着、植物吸着や植物分解されること、② 1.0cm/sec程度の表面流流速のもとでは、ダ'イアジノン, シマンとともに検出濃度値は排水指針値以下であることが明らかになった。

今後さらに数多くの実験データを集積、解析し、汚染防止の方策へと結び付けたい。なお、本研究を進めるにあたり、福山大学工学部生物工学科 橋本研介教授の適切な御教唆とご協力をいただいたことを記して、謝意を表する。

参考文献

- 1)Nielsen.E.G. and Lee.L.K : The magnitude and costs of groundwater contamination from agricultural chemicals, Agricultural Economic Rep. 576, USDA, 38p., 1987.
- 2)橋本研介：農薬の過去と現在－安全対策を中心に－、福山大学人間科学研究センター紀要，No.3, p.p100～115. 1988.
- 3)田瀬則雄・佐伯明義・伏脇裕一：浅間山北麓における殺菌剤PCNBによる地下水汚染，地下水学会誌，第31巻，第1号，p.p31～37, 1989.
- 4)中野重和：活性炭による水中からの農薬類の吸着，科学と工業，Vol.64(3), p.p90～94, 1990.
- 5)エイ・スカルト：芝地における雨水の不飽和鉛直浸透と散布農薬の土中拡散に関する実験的考察，農薬実験報告書第1号, p.88, 1990.